

## Глава 3

# Колебания упругих тел, соприкасающихся с жидкостью

### 3.1. Малые колебания идеальной баротропной жидкости

Уравнение неразрывности или закон сохранения масс

$$\frac{d\rho}{dt} + \rho \operatorname{div} \mathbf{v} = 0,$$

в случае безвихревого (потенциального) движения жидкости, для которого  $\mathbf{v} = \operatorname{grad} \varphi$ , принимает вид

$$\frac{d\rho}{dt} + \rho \Delta \varphi = 0. \quad (3.1)$$

Предположим, что движение жидкости является потенциальным, а её плотность

$$\rho = \Psi(p) \quad (3.2)$$

т.е. жидкость является баротропной. Если массовая сила  $\mathbf{f} = -\operatorname{grad} V$ , где  $V$  — потенциал, то для идеальной баротропной жидкости имеет место интеграл Лагранжа

$$\frac{\partial \varphi}{\partial t} + \frac{v^2}{2} + V + P(p) = 0 \quad (3.3)$$

где

$$P(p) = \int \frac{dp}{\rho} = \int \frac{dp}{\Psi(p)}$$

Рассмотрим малые колебания жидкости около положения равновесия  $p = p_0$ ,  $\rho = \rho_0$ ,  $\mathbf{v} = 0$ ,  $\varphi = 0$ . В положении равновесия

$\rho_0 = \Psi(p_0)$ , а интеграл Лагранжа принимает вид

$$V + P(p_0) = 0. \quad (3.4)$$

Решение задачи о малых колебаниях ищем в виде

$$p = p_0 + p', \quad \rho = \rho_0 + \rho', \quad (3.5)$$

предполагая, что  $p'$ ,  $\rho'$ ,  $\varphi$  и  $\mathbf{v}$  являются малыми величинами.

Подставив решение (3.5) в уравнение неразрывности (3.1), получим

$$\frac{d\rho'}{dt} + (\rho_0 + \rho') \Delta \varphi = 0, \quad \Delta \varphi + \frac{1}{\rho_0} \frac{dp'}{dt} = 0.$$

Дифференцирование равенства (3.2) даёт

$$\begin{aligned} \frac{d\rho}{dt} &= \frac{d\Psi}{dp} \frac{dp}{dt}, \quad \frac{d\rho'}{dt} = \frac{d\Psi}{dp} (p_0 + p') \frac{dp'}{dt}, \\ \frac{d\Psi}{dp} (p_0 + p') &= \frac{d\Psi}{dp} (p_0) + \frac{d^2\Psi}{dp^2} (p_0) p' + \dots \end{aligned}$$

Следовательно,

$$\begin{aligned} \frac{d\rho'}{dt} &= \frac{d\Psi}{dp} (p_0) \frac{dp'}{dt}, \quad \frac{d\rho'}{dt} = \frac{1}{c_0^2} \frac{dp'}{dt}, \quad c_0^2 = \left[ \frac{d\Psi}{dp} (p_0) \right]^{-1}, \\ \Delta \varphi + \frac{1}{\rho_0 c_0^2} \frac{dp'}{dt} &= 0. \end{aligned} \quad (3.6)$$

Подставим теперь решение (3.5) в интеграл Лагранжа (3.3):

$$\frac{\partial \varphi}{\partial t} + \frac{v^2}{2} + V + P(p_0 + p') = 0$$

и учтем, что

$$P(p_0 + p') = P(p_0) + \frac{dP}{dp} (p_0) p' + \dots, \quad \left. \frac{dP}{dp} \right|_{p=p_0} = \frac{1}{\Psi(p_0)} = \frac{1}{\rho_0}.$$

Принимая во внимание равенство (3.4) и отбрасывая в интеграле Лагранжа величину второго порядка малости  $v^2/2$ , получаем приближенную формулу для давления

$$p' = -\rho_0 \frac{\partial \varphi}{\partial t}. \quad (3.7)$$

Отбрасывание в формуле

$$\frac{dp'}{dt} = -\rho_0 \frac{d}{dt} \frac{\partial \varphi}{\partial t} = -\rho_0 \left( \frac{\partial^2 \varphi}{\partial t^2} + \frac{\partial^2 \varphi}{\partial x \partial t} v_x + \frac{\partial^2 \varphi}{\partial y \partial t} v_y + \frac{\partial^2 \varphi}{\partial z \partial t} v_z \right)$$

малых слагаемых дает приближенную формулу

$$\frac{dp'}{dt} = -\rho_0 \frac{\partial^2 \varphi}{\partial t^2}. \quad (3.8)$$

Подстановка (3.8) в (3.6) показывает, что потенциал  $\varphi$  удовлетворяет волновому уравнению

$$\Delta \varphi - \frac{1}{c_0^2} \frac{\partial^2 \varphi}{\partial t^2} = 0 \quad (3.9)$$

описывающему распространение возмущений в жидкости со скоростью  $c_0$ .

Для несжимаемой жидкости

$$\frac{d\Psi}{dp} = \frac{d\rho_0}{dp} = 0, \quad c_0 = \infty,$$

и волновое уравнение превращается в уравнение Лапласа  $\Delta \varphi = 0$ .

### 3.2. Колебания бесконечной пластины на жидком полупространстве

Рассмотрим малые колебания бесконечной пластины, одна сторона которой находится в контакте с идеальной баротропной жидкостью. Введем декартову систему координат (рис. 3.1)

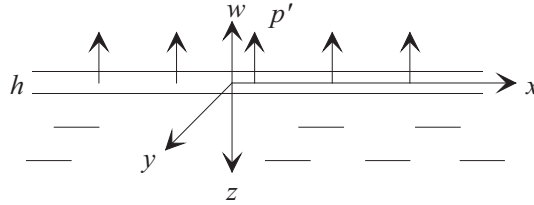


Рис. 3.1. Пластина, находящаяся в контакте с жидкостью.

Колебания пластины в её плоскости происходит так же как при отсутствии идеальной жидкости. Контакт пластины с идеальной

жидкостью оказывает влияние только на изгибные колебания пластины, которые описывает уравнение Софи Жермен (1.50)

$$D\Delta_p^2 w = -\rho h \frac{\partial^2 w}{\partial t^2} + q,$$

где

$$\Delta_p = \frac{\partial}{\partial x^2} + \frac{\partial}{\partial y^2}, \quad D = \frac{Eh^3}{12(1-\nu^2)},$$

$\rho$  — плотность материала пластины,  $h$  — ее толщина.

Условия контакта пластины и жидкости ставятся на деформированной поверхности. Однако эти условия отличаются от условий на недеформированной поверхности малыми нелинейными членами, которыми при малых колебаниях пренебрегают. Подставив динамическое условие на недеформированной поверхности  $q = p'|_{z=0}$  в уравнение Софи Жермен, получим

$$D\Delta_p^2 w = -m \frac{\partial^2 w}{\partial t^2} + p'|_{z=0}, \quad (3.10)$$

где  $m = \rho h$ . При отсутствии жидкости  $p'|_{z=0} = 0$ .

Кинематическое условие (условие непротекания) в рассматриваемой задаче имеет вид:

$$\frac{\partial \varphi}{\partial z} = -\frac{\partial w}{\partial t} \quad \text{при } z = 0. \quad (3.11)$$

Исследуем колебания пластины по формам цилиндрического изгиба, не зависящим от координаты  $y$ . Решение ищем в виде:

$$w = w_0 \sin(\alpha x) \sin(\omega t), \quad \varphi = \Phi(z) \sin(\alpha x) T(t), \quad (3.12)$$

где  $\alpha$  — волновое число,  $\omega$  — частота колебаний.

Из условия (3.11) получаем:

$$\Phi'(0) T \sin \alpha x = -w_0 \omega \sin \alpha x \cos \omega t, \quad T = -\frac{w_0}{\Phi'(0)} \omega \cos \omega t,$$

$$\varphi = -w_0 \omega \frac{\Phi(z)}{\Phi'(0)} \sin \alpha x \cos \omega t, \quad \Phi' = \frac{d\Phi}{dz}$$

Формула (3.7) для определения давления дает:

$$p'|_{z=0} = -\rho_0 \frac{\partial \varphi}{\partial t}(0) = -w_0 \omega^2 \rho_0 \frac{\Phi(0)}{\Phi'(0)} \sin \alpha x \sin \omega t.$$

Учитывая, что

$$\frac{\partial^2 w}{\partial t^2} = -w_0 \omega^2 \sin \alpha x \sin \omega t,$$

получаем

$$p'|_{z=0} = -m_p \frac{\partial^2 w}{\partial t^2}, \quad (3.13)$$

где величина

$$m_p = -\rho_0 \frac{\Phi(0)}{\Phi'(0)}, \quad (3.14)$$

называется присоединенной массой.

Уравнение (3.10) после подстановки в него (3.13) принимает вид

$$D \frac{\partial^4 w}{\partial x^4} = -(m + m_p) \frac{\partial^2 w}{\partial t^2},$$

Подставив в последнее уравнение выражение (3.12) для  $w$  получим

$$D \alpha^4 = (m + m_p) \omega^2. \quad (3.15)$$

Осталось найти присоединенную массу  $m_p$ . Подставляя в волновое уравнение (3.9) выражение для потенциала  $\varphi$ , получаем

$$\frac{d^2 \Phi}{dz^2} - \alpha^2 \Phi + \frac{\omega^2}{c_0^2} \Phi = 0.$$

Предположим, что  $\omega^2/c_0^2 - \alpha^2 < 0$ . Тогда  $\omega < c_0 \alpha$ , и уравнение для функции  $\Phi(z)$  имеет вид

$$\frac{d^2 \Phi}{dz^2} - \beta^2 \Phi = 0, \quad (3.16)$$

где

$$\beta = \sqrt{\alpha^2 - \omega^2/c_0^2}. \quad (3.17)$$

В общем решении уравнения (3.16)  $\Phi = C_1 e^{\beta z} + C_2 e^{-\beta z}$  положим  $C_1 = 0$ , так как  $e^{\beta z} \rightarrow \infty$  при  $z \rightarrow \infty$ . Тогда

$$\Phi = C_2 e^{-\beta z},$$

и выражение (3.14) для присоединенной массы принимает вид

$$m_p = -\rho_0 \frac{\Phi(0)}{\Phi'(0)} = \frac{\rho_0}{\beta} > 0.$$

Подставив формулу для  $m_p$  в уравнение (3.15), получим

$$D\alpha^4 = (m + \rho_0/\beta)\omega^2. \quad (3.18)$$

Для того, чтобы определить зависимость  $\omega$  от  $\alpha$  надо найти величину  $\beta$ . Из формулы (3.17) вытекает равенство  $\omega^2 = c_0^2(\alpha^2 - \beta^2)$ , подстановка которого в формулу (3.18) дает кубическое уравнение для определения  $\beta$ :

$$a_0\beta^3 + a_1\beta^2 + a_2\beta + a_3 = 0 \quad (3.19)$$

где

$$a_0 = m > 0, \quad a_1 = \rho_0 > 0, \quad a_2 = D\alpha^4/c_0^2 - m\alpha^2, \quad a_3 = -\rho_0\alpha^2 < 0,$$

Обозначим  $f(\beta) = a_0\beta^3 + a_1\beta^2 + a_2\beta$ . Ввиду того, что  $f(0) = 0$ ,  $f(\beta) \rightarrow \infty$  при  $\beta \rightarrow \infty$ , уравнение (3.19)

$$f(\beta) = -a_3$$

имеет по крайней мере один положительный корень  $\beta_1$ .

По правилу Декарта (1637 г.) число положительных корней алгебраического уравнения равно числу перемен знаков его коэффициентов или меньше его на четное число. Не зависимо от величины  $a_2$ , уравнение (3.19) имеет не более одной перемены знаков коэффициентов, поэтому  $\beta_1$  — его единственный положительный корень.

Следовательно, частоты, удовлетворяющие неравенству  $\omega < c_0\alpha$ , находятся по формуле

$$\omega = \alpha^2 \sqrt{\frac{D\beta_1(\alpha)}{m\beta_1(\alpha) + \rho_0}},$$

а потенциал скоростей имеет вид

$$\varphi = w_0\omega \frac{e^{-\beta_1 z}}{\beta_1} \sin \alpha x \cos \omega t$$

и быстро убывает при удалении от поверхности пластины. Таким образом, в колебания вовлекается только тонкий слой жидкости, прилегающий к пластине.

При отсутствии жидкости  $\rho_0 = 0$  и частота колебаний

$$\omega = \alpha^2 \sqrt{\frac{D}{m}} = h\alpha^2 \sqrt{\frac{E}{12(1 - \nu^2)\rho_p}}$$

пропорциональна толщине пластины  $h$ .

В случае  $\omega > c_0\alpha$  уравнение для определения  $\Phi$

$$\frac{d^2\Phi}{dz^2} + \gamma^2\Phi = 0, \quad \gamma = \sqrt{\omega^2/c_0^2 - \alpha^2}$$

имеет решение

$$\Phi = C_1 \cos \gamma z + C_2 \sin \gamma z,$$

где  $C_1, C_2$  — произвольные постоянные, и присоединенная масса

$$m_p = -\rho_0 \frac{C_1}{\gamma C_2}$$

становится неопределенной величиной.

При  $\omega = c_0\alpha$  в решении  $\Phi = C_1 z + C_2$  уравнения  $d^2\Phi/dz^2 = 0$  следует взять  $C_1 = 0$ , и присоединенная масса оказывается бесконечной.

Эти результаты свидетельствуют о непригодности решения (3.12) в области  $\omega \geq c_0\alpha$ . В этой области, называемой областью излучения, происходит распространение волн в жидкости и решение надо искать в другом виде.

Эффект излучения нельзя обнаружить, используя модель несжимаемой жидкости. При  $c_0 = \infty$  уравнение (3.16) принимает вид

$$\frac{d^2\Phi}{dz^2} - \alpha^2\Phi = 0,$$

Положив  $C_1 = 0$  в его общем решении  $\Phi = C_1 e^{\alpha z} + C_2 e^{-\alpha z}$  получим  $m_p = \rho_0/\alpha$ , и формула

$$\omega = \alpha^2 \sqrt{\frac{D\alpha}{m\alpha + \rho_0}}$$

справедлива для любого значения частоты.

### 3.3. Колебания прямоугольной пластины, находящейся в контакте с несжимаемой жидкостью

Рассмотрим прямоугольный сосуд с абсолютно жесткими вертикальными стенками и дном, заполненный идеальной несжимаемой жидкостью и закрытый упругой крышкой, которая моделируется

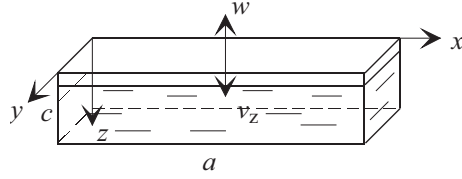


Рис. 3.2. Прямоугольная пластина, находящаяся в контакте с жидкостью.

прямоугольной пластиной толщины  $h$ . Введем декартову систему координат (рис. 3.2).

Исследуем колебания пластины по формам цилиндрического изгиба  $w = w(x, t)$ . В этом случае уравнение колебаний пластины имеет вид

$$D \frac{\partial^4 w}{\partial x^4} = -m \frac{\partial^2 w}{\partial t^2} + p'|_{z=0}, \quad m = \rho h. \quad (3.20)$$

Предположим, что края пластины шарнирно оперты:

$$w = \frac{\partial^2 w}{\partial x^2} = 0, \quad x = 0, \quad x = a. \quad (3.21)$$

Для прогиба  $w$  должно быть выполнено условие сохранения объема

$$\Psi = \int_0^a w dx = 0, \quad (3.22)$$

которое является уравнением связи.

При отсутствии жидкости уравнение (3.20) принимает вид

$$D \frac{\partial^4 w}{\partial x^4} = -m \frac{\partial^2 w}{\partial t^2}. \quad (3.23)$$

Подстановка в уравнение (3.23) решения

$$w = w_0 \sin \alpha_n x \sin \omega t, \quad \alpha_n = \frac{\pi n}{a}, \quad n = 1, 2, \dots,$$

удовлетворяющего граничным условиям (3.21), дает формулу для определения частот:

$$m\omega_n^2 = \frac{D\pi^4 n^4}{a^4}.$$

Для безразмерного параметра частоты

$$\lambda^2 = \frac{ma^4}{D\pi^4} \omega^2$$



получаем

$$\lambda_n = n^2, \quad n = 1, 2, \dots$$

Слагаемое  $p'|_{z=0}$  в уравнении (3.20) позволяет найти присоединенную массу жидкости. Исследуем сначала влияние связи (3.22) на частоты колебаний пластины без учета присоединенной массы. Для этого будем искать решение уравнения (3.23), удовлетворяющее условию (3.21), в виде

$$w = \sum_{k=1}^{\infty} q_k(t) \sin \alpha_k x. \quad (3.24)$$

Подставим решение (3.24) в формулы для кинетической и потенциальной энергии пластины

$$T = \frac{m}{2} \int_0^a \left( \frac{\partial w}{\partial t} \right)^2 dx, \quad \Pi = \frac{D}{2} \int_0^a \left( \frac{\partial^2 w}{\partial x^2} \right)^2 dx. \quad (3.25)$$

Принимая во внимание, что

$$I_{kn} = \int_0^a \sin \alpha_k x \sin \alpha_n x dx = \frac{a}{\pi} \int_0^{\pi} \sin k\theta \sin n\theta d\theta, \quad \theta = \frac{\pi}{a} x,$$

и, следовательно,

$$I_{kn} = \frac{a}{2\pi} \int_0^{\pi} [\cos(k-n)\theta - \cos(k+n)\theta] d\theta, \quad I_{kk} = \frac{a}{2}, \quad I_{kn} = 0, \quad k \neq n,$$

получим

$$T = \frac{m}{2} \sum_{k=1}^{\infty} I_{kk} \dot{q}_k^2 = \frac{am}{4} \sum_{k=1}^{\infty} \dot{q}_k^2, \quad \Pi = \frac{D}{2} \sum_{k=1}^{\infty} I_{kk} \alpha_k^4 q_k^2 = \frac{aD}{4} \sum_{k=1}^{\infty} \alpha_k^4 q_k^2$$

Подстановка (3.24) в уравнение связи (3.22) дает равенство

$$\Psi = \int_0^a \sum_{k=1}^{\infty} q_k(t) \sin \alpha_k x dx = \sum_{k=1}^{\infty} c_k q_k = 0, \quad (3.26)$$

где

$$c_k = \int_0^a \sin \alpha_k x dx = \begin{cases} 0, & k = 2n, \\ 2/\alpha_k, & k = 2n - 1. \end{cases} \quad n = 1, 2, \dots$$

Уравнения Лагранжа второго рода при наличии связи

$$\frac{d}{dt} \frac{\partial T}{\partial \dot{q}_k} - \frac{\partial T}{\partial q_k} = -\frac{\partial \Pi}{\partial q_k} + \Lambda \frac{\partial \Psi}{\partial q_k}, \quad k = 1, 2, \dots$$

содержат множитель Лагранжа  $\Lambda$ . Подставив в эти уравнения выражения для  $T$ ,  $\Pi$  и  $\Psi$ , получим

$$m a \ddot{q}_k + D a \alpha_k^4 q_k = 2 \Lambda c_k.$$

Решение последнего уравнения ищем в виде

$$q_k(t) = u_k \sin \omega t, \quad \Lambda(t) = L \sin \omega t.$$

Неизвестные числа  $u_k$  и  $L$  удовлетворяют равенствам

$$u_k (D \alpha_k^4 - m \omega^2) = \frac{2 L c_k}{a}, \quad k = 1, 2, \dots$$

Для четных  $k$  имеем  $c_k = 0$ ,

$$\omega_k^2 = \frac{D}{m} a_k^4, \quad \lambda_k = k^2$$

и параметры частоты  $\lambda_k$  совпадают с параметрами частоты для сухой пластины. При четных  $k$  формы колебаний (3.22) являются антисимметричными относительно  $x = a/2$ . Занумеруем соответствующие им частоты в порядке возрастания:  $\lambda_{a1} < \lambda_{a2} < \dots$ . Тогда  $\lambda_{a1} = 4$ ,  $\lambda_{a2} = 16$ ,  $\dots$

Из уравнения связи (3.26) следует, что

$$\sum_{k=1}^{\infty} c_k u_k = \sum_{k=1,3,\dots}^{\infty} c_k u_k = 0.$$

Учитывая, что при  $k = 1, 3, \dots$

$$c_k u_k = \frac{2 L c_k^2}{a (D \alpha_k^4 - m \omega^2)} = \frac{8 L}{a \alpha_k^2 (D \alpha_k^4 - m \omega^2)} = \frac{8 L a^5}{D \pi^6 k^2 (k^4 - \lambda^2)},$$

получаем равенство

$$\sum_{k=1,3,\dots}^{\infty} \frac{1}{k^2 (k^4 - \lambda^2)} = 0, \quad (3.27)$$

которое позволяет найти параметры частоты

$$\lambda_{s1} < \lambda_{s2} < \dots,$$

соответствующие симметричным относительно  $x = a/2$  формам колебаний.

Оставив в сумме (3.27) два первых слагаемых, находим первое приближение

$$\lambda_{s1}^{(1)} = \sqrt{73} = 8.544$$

для  $\lambda_{s1}$  из уравнения

$$\frac{1}{(1 - \lambda^2)} + \frac{1}{9(81 - \lambda^2)} = 0.$$

Если сохранить три слагаемых, то для определения  $\lambda$  получим биквадратное уравнение:

$$\frac{1}{(1 - \lambda^2)} + \frac{1}{9(81 - \lambda^2)} + \frac{1}{25(625 - \lambda^2)} = 0.$$

Его корни

$$\lambda_{s1}^{(2)} = 8.542, \quad \lambda_{s2}^{(2)} = 24.57,$$

представляют собой второе приближение для  $\lambda_{s1}$  и  $\lambda_{s2}$ .

Добавив к найденным параметрам частоты параметры частоты для антисимметричных форм колебаний  $\lambda_{a1} = 4$  и  $\lambda_{a2} = 16$ , получим, что низшую часть спектра пластины при наличии связи составляют

$$\lambda_1 = 4, \quad \lambda_2 = 8.542, \quad \lambda_3 = 16, \quad \lambda_4 = 24.57.$$

Сравнивая эту последовательность с нижней частью спектра пластины без связи

$$\lambda_1 = 1, \quad \lambda_2 = 4, \quad \lambda_3 = 9, \quad \lambda_4 = 16, \quad \lambda_5 = 25$$

легко видеть, что при наложении связи частоты увеличились, причем первая частота, соответствующая  $\lambda = 1$ , пропала, вторая стала первой, а четвертая — третьей. Вторая и четвертая частоты пластины со связью мало отличаются от третьей и пятой частоты пластины без связи.

### 3.4. Антисимметричные колебания прямоугольной пластины с учетом присоединенной массы

Предположим, что колебания пластины, изображенной на рис. 3.2, происходят по формам цилиндрического изгиба. В этом случае прогиб пластины  $w$  и потенциал скоростей жидкости  $\varphi$  не зависят от  $y$ , и уравнение Лапласа для потенциала несжимаемой жидкости имеет вид

$$\frac{\partial^2 \varphi}{\partial x^2} + \frac{\partial^2 \varphi}{\partial z^2} = 0. \quad (3.28)$$

Потенциал должен удовлетворять условию непротекания

$$\frac{\partial \varphi}{\partial z} = -\frac{\partial w}{\partial t}, \quad z = 0. \quad (3.29)$$

Кроме того, нормальная составляющая скорости обращается в нуль на дне сосуда

$$\frac{\partial \varphi}{\partial z} = 0, \quad z = c \quad (3.30)$$

и на его боковых стенках

$$\frac{\partial \varphi}{\partial x} = 0, \quad x = 0, \quad x = a. \quad (3.31)$$

Потенциал  $\varphi$  будет удовлетворять условиям (3.31), если искать его в виде ряда по косинусам:

$$\varphi(t, x, z) = \sum_{i=0}^{\infty} T_i(t) \Phi_i(z) \cos \alpha_i x, \quad \alpha_i = \frac{\pi i}{a}. \quad (3.32)$$

Прогиб  $w$ , удовлетворяющий условиям шарнирного опирания (3.21), следует искать в виде ряда (3.24) по синусам. Чтобы найти связь между коэффициентами рядов (3.32) и (3.24) из условия непротекания, разложим функции  $\sin \alpha_k x$  в ряды по  $\cos \alpha_i x$ :

$$\sin \alpha_k x = \sum_{i=0}^{\infty} a_{ki} \cos \alpha_i x, \quad k = 1, 2, \dots$$

Для вычисления коэффициентов  $a_{kj}$  умножим предыдущее равенство на  $\cos \alpha_j x$  и проинтегрируем его по  $x$  в интервале от 0 до  $a$ . После замены переменной  $x = a\theta/\pi$ , учитывая, что

$$\int_0^\pi \cos i\theta \cos j\theta d\theta = 0, \quad i \neq j, \quad \int_0^\pi \cos^2 j\theta d\theta = \frac{\pi}{2}, \quad j > 0,$$

получим

$$a_{kj} = \frac{2}{\pi} \int_0^\pi \sin k\theta \cos j\theta d\theta, \quad k = 1, 2, \dots, \quad j = 0, 1, \dots$$

Если числа  $j$  и  $k$  оба четные или оба нечетные, то  $a_{kj} = 0$ . В противном случае

$$a_{k0} = \frac{2}{\pi k}, \quad a_{kj} = \frac{1}{\pi} \int_0^\pi [\sin(k+j)\theta + \sin(k-j)\theta] d\theta = \frac{4k}{\pi(k^2 - j^2)}.$$

Следовательно, для четных  $k = 2, 4, \dots$

$$\sin \alpha_k x = \sum_{i=1,3,\dots} a_{ki} \cos \alpha_i x, \quad a_{ki} = \frac{4k}{\pi(k^2 - i^2)},$$

а для нечетных  $k = 1, 3, \dots$

$$\sin \alpha_k x = \sum_{i=0,2,\dots} a_{ki} \cos \alpha_i x, \quad a_{k0} = \frac{2}{\pi k}, \quad a_{ki} = \frac{4k}{\pi(k^2 - i^2)}, \quad i > 0.$$

Найдем формы колебаний

$$w = \sum_{k=2,4,\dots} q_k(t) \sin \alpha_k x = \sum_{k=2,4,\dots} \sum_{i=1,3,\dots} q_k a_{ki} \cos \alpha_i x. \quad (3.33)$$

антисимметричные относительно  $x = a/2$  и соответствующие им частоты. Подставим ряды (3.32) и (3.33) в условие непротекания (3.29) и приравняем коэффициенты при  $\cos \alpha_i x$ . Получим

$$T_i = \frac{-S_i}{\Phi'_i(0)}, \quad S_i = \sum_{k=2,4,\dots} a_{ki} \dot{q}_k, \quad \varphi = - \sum_{i=1,3,\dots} \frac{\Phi_i(z)}{\Phi'_i(0)} S_i \cos \alpha_i x. \quad (3.34)$$

Подстановка выражения для  $\varphi$  в уравнение (3.28) дает уравнения

$$\Phi_i'' - \alpha_i^2 \Phi_i = 0, \quad i = 1, 3, \dots \quad (3.35)$$

Общее решение уравнения (3.35) запишем в виде

$$\Phi_i = C_1 \operatorname{ch} \alpha_i(z - c) + C_2 \operatorname{sh} \alpha_i(z - c).$$

Из условия (3.30) вытекает, что  $\Phi'_i(c) = 0$ , и, следовательно,  $C_2 = 0$ ,

$$\Phi_i = C_1 \operatorname{ch} \alpha_i(z - c), \quad \Phi'_i(0) = -\alpha_i C_1 \operatorname{sh} \alpha_i c. \quad (3.36)$$

Для вывода уравнений движения, как и в предыдущем разделе, воспользуемся аппаратом уравнений Лагранжа второго рода. Учтем присоединенную массу жидкости, добавив к кинетической энергии пластины кинетическую энергию жидкости

$$T_f = \frac{\rho_0}{2} \int_0^a \int_0^c \left[ \left( \frac{\partial \varphi}{\partial x} \right)^2 + \left( \frac{\partial \varphi}{\partial z} \right)^2 \right] dx dz,$$

где  $\rho_0$  — плотность жидкости.

Подставим в эту формулу выражение (3.34) для потенциала  $\varphi$ . Ввиду равенств

$$\begin{aligned} \int_0^a \sin \alpha_i x \sin \alpha_j x dx &= \int_0^a \cos \alpha_i x \cos \alpha_j x dx = 0, \quad i \neq j, \\ \int_0^a \sin^2 \alpha_i x dx &= \int_0^a \cos^2 \alpha_i x dx = \frac{a}{2} \end{aligned}$$

формула для  $T_f$  принимает вид

$$T_f = \frac{a\rho_0}{4} \int_0^c \sum_{i=1,3,\dots} \frac{\alpha_i^2 \Phi_i^2(z) + [\Phi_i'(z)]^2}{[\Phi_i'(0)]^2} S_i^2 dz.$$

Учитывая равенства (3.36), получаем

$$\begin{aligned} \frac{\alpha_i^2 \Phi_i^2(z) + [\Phi_i'(z)]^2}{[\Phi_i'(0)]^2} &= \frac{\text{ch}^2 \alpha_i(z-c) + \text{sh}^2 \alpha_i(z-c)}{\text{sh}^2 \alpha_i c} = \frac{\text{ch} 2\alpha_i(z-c)}{\text{sh}^2 \alpha_i c}, \\ \int_0^c \frac{\text{ch} 2\alpha_i(z-c)}{\text{sh}^2 \alpha_i c} dz &= \frac{\text{sh} 2\alpha_i c}{2\alpha_i \text{sh}^2 \alpha_i c} = \frac{\text{cth} \alpha_i c}{\alpha_i}. \end{aligned}$$

Следовательно,

$$T_f = \frac{a}{4} \sum_{i=1,3,\dots} m_i S_i^2, \quad m_i = \frac{\rho_0}{\alpha_i} \text{cth} \alpha_i c.$$

Кинетическая и потенциальная энергии пластины находятся по формулам

$$T_p = \frac{m}{2} \int_0^a \left( \frac{\partial w}{\partial t} \right)^2 dx, \quad \Pi_p = \frac{D}{2} \int_0^a \left( \frac{\partial^2 w}{\partial x^2} \right)^2 dx.$$

Подстановка в эти формулы разложения (3.33) дает равенства

$$T_p = \frac{am}{4} \sum_{k=2,4,\dots} \dot{q}_k^2, \quad \Pi_p = \frac{aD}{4} \sum_{k=2,4,\dots} \alpha_k^4 q_k^2$$

и уравнения Лагранжа

$$\frac{d}{dt} \frac{\partial(T_p + T_f)}{\partial \dot{q}_k} - \frac{\partial(T_p + T_f)}{\partial q_k} = -\frac{\partial \Pi}{\partial q_k}, \quad k = 2, 4, \dots$$

принимают вид

$$\frac{ma}{2} \ddot{q}_k + \frac{a}{4} \sum_{i=1,3,\dots} m_i \frac{d}{dt} \frac{\partial S_i^2}{\partial \dot{q}_k} + \frac{Da}{2} \alpha_k^4 q_k = 0.$$

Учитывая, что

$$\frac{\partial S_i^2}{\partial \dot{q}_k} = 2S_i \frac{\partial S_i}{\partial \dot{q}_k} = 2S_i a_{ki} = 2 \sum_{j=2,4,\dots} a_{ji} a_{ki} \dot{q}_j,$$

получаем уравнения

$$m\ddot{q}_k + \sum_{j=2,4,\dots} \sum_{i=1,3,\dots} m_i a_{ki} a_{ji} \ddot{q}_j + D\alpha_k^4 q_k = 0. \quad (3.37)$$

Представив решение системы (3.37) в виде  $q_k = u_k \sin \omega t$ , получим систему линейных однородных алгебраических уравнений

$$m\omega^2 u_k + \omega^2 \sum_{j=2,4,\dots} \sum_{i=1,3,\dots} m_i a_{ki} a_{ji} u_j - D\alpha_k^4 u_k = 0. \quad (3.38)$$

для вычисления частот и форм колебаний. После перехода в системе (3.38) к безразмерному параметру частоты  $\lambda$  по формуле

$$\omega^2 = \frac{D\pi^4}{ma^4} \lambda^2$$

и несложных преобразование получим систему

$$\lambda^2 u_k + \lambda^2 \sum_{j=2,4,\dots} b_{kj} u_j - k^4 u_k = 0, \quad (3.39)$$

где

$$b_{kj} = \frac{\rho_0 a}{\rho h} \sum_{i=1,3,\dots} \frac{\text{cth } \alpha_i c}{\pi i} a_{ki} a_{ji}, \quad a_{ki} = \frac{4k}{\pi(k^2 - i^2)}.$$

Ряды для коэффициентов  $b_{kj}$  сходятся быстро. Уже сумма первых три-четыре членов ряда дает малую погрешность по сравнению с точным значением  $b_{kj}$ , которое можно вычислить, например, с помощью пакета Mathematica.

Найдем первое приближение для параметра частоты, оставив в решении (3.33) только первое слагаемое. В этом случае система (3.39) содержит одно уравнение

$$\lambda^2 u_2 + \lambda^2 b_{22} u_2 - 16u_2 = 0,$$

где

$$b_{22} = \frac{\rho_0 a}{\rho h} \sum_{i=1,3,\dots} \frac{\operatorname{cth} \alpha_i c}{\pi i} a_{2i}^2, \quad a_{2i} = \frac{8}{\pi(4-i^2)}.$$

Для первого параметра частоты в первом приближении получаем

$$\lambda_{a1}^{(1)} = \frac{4}{\sqrt{1+b_{22}}}.$$

Если  $c/a \rightarrow \infty$ , то  $\operatorname{cth} \alpha_i c = \operatorname{cth}(\pi c i/a) \rightarrow 1$ . Предположим, что  $c \geq a$ . Учитывая, что  $\operatorname{cth} \pi = 1.004$ , при этом предположении с погрешностью не более 0.4% можно считать, что  $\operatorname{cth} \pi \simeq 1$ . Тогда

$$b_{22} = \frac{\rho_0 a}{\rho h} S_{22}, \quad S_{22} = \frac{64}{\pi^3} \sum_{i=1,3,\dots} \frac{1}{i(4-i^2)^2}.$$

Обозначим  $S_{22}^{(k)}$  приближенное значение  $S_{22}$  полученное при учете в ряду первых  $k$  слагаемых. В результате вычислений находим

$$S_{22}^{(1)} = \frac{64}{9\pi^3} = 0.229, \quad S_{22}^{(2)} = 0.257, \quad S_{22}^{(3)} = 0.258, \quad S_{22} = 0.258.$$

В качестве примера рассмотрим колебания стальной пластинки, находящейся в контакте с водой. В этом случае отношение  $\rho_0/\rho = 1/7$ . Полагая  $a/h = 100$ , получим

$$b_{22} = 3.68, \quad \lambda_{a1}^{(1)} = 1.85.$$

Учет присоединенной массы привел к снижению параметра частоты  $\lambda = 4$  более, чем в 2 раза. При увеличении толщины пластины  $h$  влияние присоединенной массы на частоту уменьшается. Так, при  $a/h = 20$  имеем

$$b_{22} = 0.736, \quad \lambda_{a1}^{(1)} = 3.04.$$

Отметим, что увеличение толщины пластины приводит к возрастанию погрешности уравнения Софи Жермен.



При построении второго приближения оставим в решении (3.33) два первых слагаемых. В этом случае система (3.39) примет вид

$$\begin{aligned}\lambda^2 u_2 + \lambda^2 (b_{22} u_2 + b_{24} u_4) - 16 u_2 &= 0, \\ \lambda^2 u_4 + \lambda^2 (b_{42} u_2 + b_{44} u_4) - 16^2 u_4 &= 0.\end{aligned}$$

Приравняв нулю определитель этой системы, получим биквадратное уравнение для определения  $\lambda$ :

$$[\lambda^2(1 + b_{22} - 16)][\lambda^2(1 + b_{44} - 16^2) - \lambda^4 b_{24} b_{42}] = 0.$$

Здесь при  $c \geq a$

$$\begin{aligned}b_{kj} &= \frac{\rho_0}{\rho} \frac{a}{h} S_{kj}, \quad S_{44} = \frac{256}{\pi^3} \sum_{i=1,3,\dots} \frac{1}{i(16-i^2)^2} = 0.115, \\ S_{24} = S_{42} &= \frac{128}{\pi^3} \sum_{i=1,3,\dots} \frac{1}{i(4-i^2)(16-i^2)} = 0.0573.\end{aligned}$$

При  $\rho_0/\rho = 1/7$  и  $a/h = 20$  корни биквадратного уравнения  $\lambda_{a1}^{(2)} = 3.03$  и  $\lambda_{a2}^{(2)} = 13.89$  представляют собой второе приближение для первой и второй частот антисимметричных колебаний. Близость первого приближения  $\lambda_{a1}^{(1)} = 3.04$  ко второму для первой частоты свидетельствует о достаточно высокой точности определения этой частоты из первого приближения.

### 3.5. Симметричные колебания прямоугольной пластины с учетом присоединенной массы

Антисимметричные формы колебаний (3.33) удовлетворяют условию сохранения объема (3.22). Построение симметричных относительно  $x = a/2$  форм колебаний

$$w = \sum_{k=1,3,\dots} q_k(t) \sin \alpha_k x = \sum_{k=1,3,\dots} \sum_{i=0,2,\dots} q_k a_{ki} \cos \alpha_i x.$$

осложняется необходимостью принимать во внимание уравнение связи (3.22), из которого вытекает равенство

$$\int_0^a w dx = \int_0^a \sum_{i=0,2,\dots} \sum_{k=1,3,\dots} q_k a_{ki} \cos \alpha_i x dx = a \sum_{k=1,3,\dots} q_k a_{k0} = 0,$$

так как

$$\int_0^a \cos \alpha_i x dx = 0$$

при  $i = 2, 4, \dots$ . Ввиду того, что  $aa_{k0} = c_k$ , выполняется условие (3.26) и, кроме того

$$w = \sum_{i=2,4,\dots} \sum_{k=1,3,\dots} q_k a_{ki} \cos \alpha_i x. \quad (3.40)$$

Из условия непротекания (3.29), с учетом разложений (3.32) и (3.40) получим

$$T_i = -\frac{S_i}{\Phi_i'(0)}, \quad S_i = \sum_{k=1,3,\dots} a_{ki} \dot{q}_k, \quad \varphi = - \sum_{i=2,4,\dots} \frac{\Phi_i(z)}{\Phi_i'(0)} S_i \cos \alpha_i x, \quad (3.41)$$

где  $\Phi_i(z)$  и  $\Phi_i'(0)$  находятся по формулам (3.36).

Подстановка ряда (3.40) в выражения для кинетической и потенциальной энергий пластины, а ряда (3.41) в выражение для кинетической энергии жидкости дает формулы

$$T_p = \frac{am}{4} \sum_{k=1,3,\dots} \dot{q}_k^2, \quad \Pi_p = \frac{aD}{4} \sum_{k=1,3,\dots} \alpha_k^4 q_k^2, \\ T_f = \frac{a}{4} \sum_{i=2,4,\dots} m_i S_i^2, \quad m_i = \frac{\rho_0}{\alpha_i} \operatorname{cth} \alpha_i c.$$

Уравнения Лагранжа второго рода

$$\frac{d}{dt} \frac{\partial(T_p + T_f)}{\partial \dot{q}_k} - \frac{\partial(T_p + T_f)}{\partial q_k} = -\frac{\partial \Pi}{\partial q_k} + \Lambda \frac{\partial \Psi}{\partial q_k}, \quad k = 1, 3, \dots, \quad (3.42)$$

где  $\Lambda$  — множитель Лагранжа, после подстановки в них формул для  $T_p$ ,  $\Pi_p$ ,  $T_f$  и  $\Psi$  принимают вид

$$\frac{ma}{2} \ddot{q}_k + \frac{a}{4} \sum_{i=2,4,\dots} m_i \frac{d}{dt} \frac{\partial S_i^2}{\partial \dot{q}_k} + \frac{Da}{2} \alpha_k^4 q_k = \Lambda c_k. \quad (3.43)$$

Умножив уравнения (3.43) на  $2/a$ , с учетом выражения (3.41) для  $S_i$  получим

$$m \ddot{q}_k + \sum_{j=1,3,\dots} \sum_{i=2,4,\dots} m_i a_{ki} a_{ji} \ddot{q}_j + D \alpha_k^4 q_k = \frac{2\Lambda c_k}{a}.$$

Подстановка  $q_k = u_k \sin \omega t$  и  $\Lambda = L \sin \omega t$  в эту систему уравнений и соотношение (3.26) дает систему линейных алгебраических уравнений с неизвестными  $u_k$  и  $L$ :

$$\begin{aligned} m\omega^2 u_k + \omega^2 \sum_{j=1,3,\dots} \sum_{i=2,4,\dots} m_i a_{ki} a_{ji} u_j - D\alpha_k^4 u_k + \frac{2Lc_k}{a} &= 0, \\ \sum_{j=1,3,\dots} c_j u_j &= 0. \end{aligned} \quad (3.44)$$

После перехода к безразмерным переменным система (3.44) принимает вид

$$\begin{aligned} \lambda^2 u_k + \lambda^2 \sum_{j=1,3,\dots} b_{kj} u_j - k^4 u_k + lc_k &= 0, \quad k = 1, 3, \dots, \\ \sum_{j=1,3,\dots} c_j u_j &= 0. \end{aligned} \quad (3.45)$$

где

$$b_{kj} = \frac{\rho_0 a}{\rho h} \sum_{i=2,4,\dots} \frac{\text{cth } \alpha_i c}{\pi i} a_{ki} a_{ji}, \quad l = \frac{2a^3 L}{\pi^4 D}.$$

По сравнению с системой (3.39) для антисимметричных форм система (3.45) содержит одно дополнительное уравнение и одно дополнительное неизвестное  $l$ . Параметры частоты находятся из уравнения  $D(\lambda) = 0$ , где  $D(\lambda)$  — определитель системы, полученной исключением  $l$  из системы (3.45).

Найдем первое приближение  $\lambda_{s1}^{(1)}$  к параметру частоты  $\lambda_{s1}$ . Для этого нам понадобятся три первых уравнения системы (3.45):

$$\begin{aligned} \lambda^2 u_1 + \lambda^2 (b_{11} u_1 + b_{13} u_3) - u_1 + lc_1 &= 0, \\ \lambda^2 u_3 + \lambda^2 (b_{31} u_1 + b_{33} u_3) - 81u_3 + lc_3 &= 0, \\ c_1 u_1 + c_3 u_3 &= 0. \end{aligned}$$

Исключив  $l$  из первых двух уравнений, получим систему двух уравнений с двумя неизвестными, определитель которой

$$D(\lambda) = 730 - \lambda^2(10 + b_{11} + 9b_{33} - 3b_{13} - 3b_{31}).$$

Величина

$$\lambda_{s1}^{(1)} = \sqrt{\frac{730}{10 + b_{11} + 9b_{33} - 6b_{13}}}$$

является корнем уравнения  $D(\lambda) = 0$ .

Если  $c \geq a$ , то

$$\begin{aligned} b_{kj} &= \frac{\rho_0}{\rho} \frac{a}{h} S_{kj}, & S_{11} &= \frac{16}{\pi^3} \sum_{i=2,4,\dots} \frac{1}{i(1-i^2)^2} = 0.0293, \\ S_{13} = S_{31} &= \frac{48}{\pi^3} \sum_{i=2,4,\dots} \frac{1}{i(1-i^2)(9-i^2)} = -0.0475, \\ S_{33} &= \frac{144}{\pi^3} \sum_{i=2,4,\dots} \frac{1}{i(9-i^2)^2} = 0.118. \end{aligned}$$

Полагая  $\rho_0/\rho = 1/7$  и  $a/h = 20$ , получим  $\lambda_{s1}^{(1)} = 7.221$ .

Сравнивая результаты раздела 3.3 по определению нижней части спектра частот пластинки без учета присоединенной массы

$$\lambda_1 = \lambda_{a1} = 4, \quad \lambda_2 = \lambda_{s1} = 8.542, \quad \lambda_3 = \lambda_{a2} = 16$$

с результатами разделов 3.4 и 3.5 для  $c \geq a$ ,  $\rho_0/\rho = 1/7$  и  $a/h = 20$

$$\lambda_1 = \lambda_{a1} = 3.04, \quad \lambda_2 = \lambda_{s1} = 7.221, \quad \lambda_3 = \lambda_{a2} = 13.89,$$

можно сделать вывод, что учет присоединенной массы заметно снижает частоты колебаний даже для относительно толстой пластинки. Для тонких пластинок влияние присоединенной массы увеличивается. Так, например, при  $a/h = 100$  учет присоединенной массы приводит к уменьшению первой частоты более, чем в два раза.

### 3.6. Уравнения колебаний цилиндрической оболочки в жидкости.

Рассмотрим малые колебания цилиндрической оболочки радиуса  $R$  и бесконечной длины, находящейся в контакте с идеальной баротропной жидкостью.

Введем цилиндрическую систему координат  $r, \theta, z$  (рис. 3.3). Для определения давления на поверхности оболочки используем формулу (3.7):

$$p = -\rho_0 \left. \frac{\partial \varphi}{\partial t} \right|_{z=R},$$

где потенциал скоростей удовлетворяет волновому уравнению:

$$\Delta \varphi = \frac{1}{c_0} \frac{\partial^2 \varphi}{\partial t^2}, \quad \Delta = \frac{\partial^2}{\partial r^2} + \frac{1}{r} \frac{\partial}{\partial r} + \frac{1}{r^2} \frac{\partial^2}{\partial \theta^2} + \frac{\partial^2}{\partial z^2}.$$

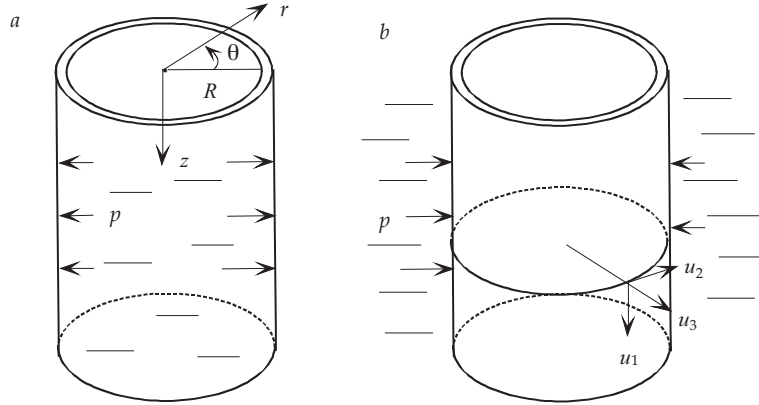


Рис. 3.3. Цилиндрическая оболочка, находящаяся в контакте с жидкостью.

Условие непротекания и динамические условия в линейном приближении приобретают вид:

$$\frac{\partial \varphi}{\partial r} = \frac{\partial u_3}{\partial t}, \quad q_1 = q_2 = 0, \quad q_3 = \pm p, \quad r = R.$$

Знаки + и - соответствуют внутренней и внешней задаче (см. рис. 3.3a и 3.3b).

Уравнения колебаний оболочки

$$\begin{aligned} L_{11} u_1 + L_{12} u_2 + L_{13} u_3 - \frac{1}{B} m \frac{\partial^2 u_1}{\partial t^2} &= 0, \\ L_{21} u_1 + L_{22} u_2 + L_{23} u_3 - \frac{1}{B} m \frac{\partial^2 u_2}{\partial t^2} &= 0, \\ L_{31} u_1 + L_{32} u_2 + L_{33} u_3 - \frac{1}{B} m \frac{\partial^2 u_3}{\partial t^2} \pm \frac{1}{B} p \Big|_{r=R} &= 0, \end{aligned} \quad (3.46)$$

где

$$\begin{aligned} m &= \rho h, \quad B = \frac{Eh}{\sigma}, \quad \sigma = 1 - \nu^2, \\ L_{11} &= \frac{\partial^2}{\partial z^2} + \frac{1 - \nu}{2R^2} \frac{\partial^2}{\partial \theta^2}, \quad L_{12} = \frac{1 + \nu}{2R^2} \frac{\partial^2}{\partial z \partial \theta}, \quad L_{13} = \frac{\nu}{R} \frac{\partial}{\partial z}, \end{aligned}$$

получаем постановкой в уравнения из раздела 1.8 выражений для  $q_1$ ,  $q_2$  и  $q_3$ .

Решение задачи ищем в виде

$$\begin{aligned} u_1 &= u_0 \cos \alpha z \cos n\theta \sin \omega t, & u_2 &= v_0 \sin \alpha z \sin n\theta \sin \omega t, \\ u_3 &= w_0 \sin \alpha z \cos n\theta \sin \omega t, & \varphi &= \Phi(r) \sin \alpha z \cos n\theta T(t), \end{aligned} \quad (3.47)$$

где  $n$  — число волн по окружности,  $\omega$  — частота колебаний.

Из условия непротекания

$$T(t)\Phi'(R) \sin \alpha z \cos n\vartheta = w_0\omega \sin \alpha z \cos n\vartheta \cos \omega t,$$

где  $\Phi' = d\Phi/dr$ , находим функцию  $T$  и потенциал скоростей  $\varphi$ :

$$T(t) = \frac{w_0\omega}{\Phi'(R)} \cos \omega t, \quad \varphi = w_0\omega \frac{\Phi(r)}{\Phi'(R)} \sin \alpha z \cos n\theta \cos \omega t.$$

Для давления на поверхности оболочки получаем формулу

$$p(R) = -\rho_0 \frac{\partial \varphi}{\partial t}(R) = \rho_0 w_0 \omega^2 \frac{\Phi(R)}{\Phi'(R)} \sin \alpha z \cos n\theta \sin \omega t.$$

Принимая во внимание, что

$$\frac{\partial^2 u_3}{\partial t^2} = -w_0\omega^2 \sin \alpha z \cos n\theta \sin \omega t,$$

выражение для давления можно записать в виде

$$p(R) = -\rho_0 \frac{\Phi(R)}{\Phi'(R)} \frac{\partial^2 u_3}{\partial t^2}. \quad (3.48)$$

Величина

$$m_p = \pm \rho_0 \frac{\Phi(R)}{\Phi'(R)}, \quad (3.49)$$

где знаки  $+$  и  $-$  соответствуют внутренней и внешней задачам, называется присоединенной массой. Подстановка выражения (3.48) в третье уравнение (3.46) с учетом формулы (3.49), приводит к уравнению

$$L_{31}u_1 + L_{32}u_2 + L_{33}u_3 - \frac{1}{B}(m + m_p) \frac{\partial^2 u_3}{\partial t^2} = 0. \quad (3.50)$$

Подставив решение (3.47) в 1-ое уравнение (3.46) и сократив его на произведение функций  $\cos \alpha z \cos n\theta \sin \omega t$ , получим

$$-\left(\alpha^2 + \frac{1-\nu}{2R^2}n^2\right)u_0 + \frac{1+\nu}{2R}\alpha n v_0 + \frac{\nu}{R}\alpha w_0 + \frac{\sigma}{E}\rho\omega^2 u_0 = 0.$$

Умножим это уравнение на  $-R^2$  и введем безразмерные величины

$$\alpha_b = \alpha R, \quad \lambda = \frac{\sigma R^2 \rho}{E} \omega^2, \\ a_{11} = \alpha_b^2 + \frac{1-\nu}{2}n^2, \quad a_{12} = -\frac{1+\nu}{2}\alpha_b n, \quad a_{13} = -\nu\alpha_b.$$

Уравнение примет вид

$$(a_{11} - \lambda)u_0 + a_{12}v_0 + a_{13}w_0 = 0. \quad (3.51)$$

Подстановка решения (3.47) во второе уравнение (3.46) и уравнение (3.50) дает еще два уравнения:

$$\begin{aligned} a_{21}u_0 + (a_{22} - \lambda)v_0 + a_{23}w_0 &= 0, \\ a_{31}u_0 + a_{32}v_0 + \left[ a_{33} - \lambda \left( 1 + \frac{m_p}{m} \right) \right] w_0 &= 0. \end{aligned} \quad (3.52)$$

Громоздкие выражения для коэффициентов  $a_{ij}$  не приводятся, так как в дальнейшем они не используются.

Однородная система линейных алгебраических уравнений (3.51), (3.52) имеет нетривиальное решение, если

$$D(\lambda) = \begin{vmatrix} a_{11} - \lambda & a_{12} & a_{13} \\ a_{21} & a_{22} - \lambda & a_{23} \\ a_{31} & a_{32} & a_{33} - \lambda \left( 1 + \frac{m_p}{m} \right) \end{vmatrix} = 0. \quad (3.53)$$

Для сухой оболочки  $m_p = 0$ , и уравнение  $D(\lambda) = 0$  превращается в кубическое уравнение для определения параметра частоты  $\lambda$ .

### 3.7. Вычисление присоединенной массы для цилиндрической оболочки

Подставим выражение для потенциала скоростей

$$\varphi = -w_0 \omega \frac{\Phi(r)}{\Phi'(R)} \sin \alpha z \cos n\theta \cos \omega t,$$

в волновое уравнение

$$\frac{\partial^2 \varphi}{\partial r^2} + \frac{1}{r} \frac{\partial \varphi}{\partial r} + \frac{1}{r^2} \frac{\partial^2 \varphi}{\partial \theta^2} + \frac{\partial^2 \varphi}{\partial z^2} = \frac{1}{c_0^2} \frac{\partial^2 \varphi}{\partial t^2}.$$

Получим

$$\frac{d^2 \Phi}{dr^2} + \frac{1}{r} \frac{d\Phi}{dr} - \frac{n^2}{r^2} \Phi - \alpha^2 \Phi = -\frac{\omega^2}{c_0^2} \Phi.$$

Предположим, что  $\omega < c_0 \alpha$ . Обозначим  $\beta^2 = \alpha^2 - \omega^2/c_0^2 > 0$ . Тогда уравнение для определения  $\Phi$  принимает вид

$$r^2 \frac{d^2 \Phi}{dr^2} + r \frac{d\Phi}{dr} - (n^2 + \beta^2 r^2) \Phi = 0.$$

Замена переменной  $x = \beta r$  сводит это уравнение к модифицированному уравнению Бесселя

$$x^2 \frac{d^2 \Phi}{dx^2} + x \frac{d\Phi}{dx} - (n^2 + x^2) \Phi = 0. \quad (3.54)$$

Уравнение (3.54) имеет два линейно независимых решения  $I_n(x)$  и  $K_n(x)$ , которые называются модифицированными функциями Бесселя, причем  $K_n(x)$  имеет особенность в точке  $x = 0$ , а  $I_n(x) \rightarrow \infty$  при  $x \rightarrow \infty$  (рис. 3.4)

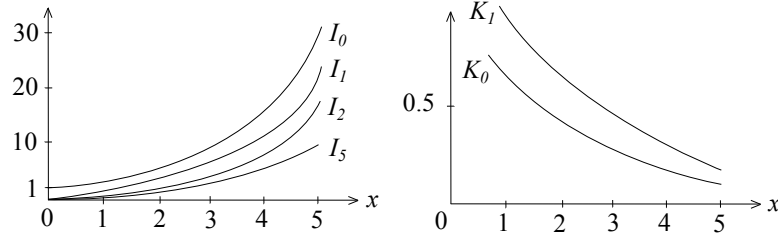


Рис. 3.4. Модифицированные функции Бесселя.

Общее решение уравнения (3.54)

$$\Phi(r) = C_1 I_n(\beta r) + C_2 K_n(\beta r)$$

содержит две произвольных постоянных  $C_1$  и  $C_2$ .

Для внутренней задачи  $C_2 = 0$ , и  $\Phi(r) = C_1 I_n(\beta r)$  при  $0 \leq r \leq R$ . Функции  $I_n(\beta r)$  быстро убывают при  $r \rightarrow 0$ , поэтому колебания происходят в небольшом слое жидкости, примыкающем к поверхности оболочки, а присоединенная масса

$$m_p = \rho_0 \frac{I_n(\beta R)}{\beta I_n'(\beta R)} > 0.$$

Присоединенная масса всегда положительна, так как она представляет собой массу слоя жидкости, который совершает колебания вместе с оболочкой.

Для внешней задачи  $C_1 = 0$ ,  $\Phi(r) = C_2 K_n(\beta r)$ ,  $R \leq r$ . Функции  $K_n(\beta r)$  быстро убывают при  $r \rightarrow \infty$ , поэтому в колебание вовлекается тонкий слой жидкости снаружи от оболочки. В этом случае присоединенная масса

$$m_p = -\rho_0 \frac{K_n(\beta R)}{\beta K_n'(\beta R)} > 0.$$



Если  $\omega = c_0\alpha$ , то  $\beta^2 = 0$ , и уравнение для определения  $\Phi$  превращается в уравнение Эйлера

$$r^2 \frac{d^2\Phi}{dr^2} + r \frac{d\Phi}{dr} - n^2\Phi = 0,$$

имеющее при  $n \geq 1$  общее решение

$$\Phi = C_1 r^n + C_2 r^{-n}.$$

Для внутренней задачи  $\Phi = C_1 r^n$ , для внешней задачи  $\Phi = C_2 r^{-n}$ , а присоединенная масса для обеих задач совпадает и равна  $m_p = \rho_0 R/n$ .

В случае  $\omega > c_0\alpha$  уравнение для определения  $\Phi(r)$

$$r^2 \frac{d^2\Phi}{dr^2} + r \frac{d\Phi}{dr} - (n^2 - \gamma^2 r^2)\Phi = 0, \quad \gamma^2 = \omega^2/c_0^2 - \alpha^2 > 0$$

заменой переменной  $x = \gamma r$  сводится к уравнению Бесселя

$$x^2 \frac{d^2\Phi}{dx^2} + x \frac{d\Phi}{dx} - (n^2 - x^2)\Phi = 0.$$

Линейно независимыми решениями уравнения Бесселя являются функция Бесселя  $J_n(x)$  и функция Неймана  $N_n(x)$  (рис. 3.5), а его общее решение имеет вид

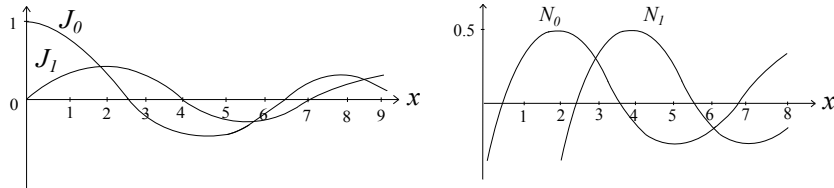


Рис. 3.5. Функции Бесселя.

$$\Phi(r) = C_1 J_n(\gamma r) + C_2 N_n(\gamma r).$$

Для внутренней задачи  $C_2 = 0$ ,

$$\Phi(r) = C_1 J_n(\gamma r), \quad m_p = \rho_0 \frac{J_n(\gamma R)}{\gamma J'_n(\gamma R)},$$

причем  $J'_n(x)$  имеет бесчисленное множество нулей.

Для внешней задачи

$$\Phi(r) = C_1 J_n(\gamma r) + C_2 N_n(\gamma r), \quad m_p = -\rho_0 \frac{\Phi(R)}{\Phi'(R)}$$

и выражение для  $m_p$  становится неопределенным, так как зависит от отношения произвольных постоянных  $C_1/C_2$ .

Прискорбное поведение присоединенных масс и отсутствие быстрого затухания решений при удалении от поверхности оболочки позволяет сделать вывод, что решение (3.47) не годится в области  $\omega > c_0 \alpha$ . Область высоких частот, как и для пластины, является областью излучения.

### 3.8. Приближенные методы определения присоединенной массы.

Для приближенного вычисления присоединенной массы  $m_p$  в случае  $\omega < \alpha c_0$  найдем асимптотическое представление модифицированных функций Бесселя  $I_n$  и  $K_n$  при  $n \gg 1$ . Решение уравнения (3.54)

$$x^2 \Phi'' + x \Phi' - (n^2 + x^2) \Phi = 0, \quad \Phi' = \frac{d\Phi}{dx}$$

ищем в виде

$$\Phi = \Phi_0(x) e^{n \int q(x) dx},$$

где  $\Phi_0$  и  $q$  неизвестные функции. Учитывая, что

$$\Phi' = \Phi_0' e^{n \int q dx} + n q \Phi_0 e^{n \int q dx} \simeq n q \Phi$$

$$\Phi'' \simeq n^2 q^2 \Phi_0 e^{n \int q dx} = n^2 q^2 \Phi$$

после подстановки в уравнение приближенных выражений для  $\Phi''$ ,  $\Phi'$ ,  $\Phi$  получим квадратное уравнение для определения  $q$

$$q^2 n^2 x^2 + q n x - (n^2 + x^2) = 0,$$

корни которого имеют вид

$$q_{1,2} = \frac{-n x \pm \sqrt{n^2 x^2 + 4 n^2 x^2 (n^2 + x^2)}}{2 n^2 x^2}.$$

Отбрасывая второстепенные члены, получим

$$q_{1,2} \simeq \frac{-n x \pm 2 n x \sqrt{n^2 + x^2}}{2 n^2 x^2} \simeq \pm \frac{\sqrt{n^2 + x^2}}{n x}$$

Ввиду того, что  $I_n \xrightarrow{x \rightarrow \infty} \infty, K_n \xrightarrow{x \rightarrow \infty} 0$

$$I_n(x) \simeq \Phi_0^+ e^{n \int q_1(x) dx}, \quad K_n(x) \simeq \Phi_0^- e^{n \int q_2(x) dx}$$

причем

$$I_n'(x) \simeq n q_1 I_n = \frac{\sqrt{n^2 + x^2}}{x} I_n, \quad K_n'(x) \simeq n q_2 K_n = -\frac{\sqrt{n^2 + x^2}}{x} K_n$$

Функции  $\Phi_0^+$  и  $\Phi_0^-$  определяются из следующего приближения, но выражения для этих функций не нужны для приближенного вычисления  $m_p$ . Действительно, для внутренней задачи

$$m_p = \frac{\rho_0 I_n(\beta R)}{\beta I_n'(\beta R)} \simeq \frac{\rho_0 R}{\sqrt{n^2 + \beta^2 R^2}}.$$

Для внешней задачи

$$m_p = -\frac{\rho_0 K_n(\beta R)}{\beta K_n'(\beta R)} \simeq \frac{\rho_0 R}{\sqrt{n^2 + \beta^2 R^2}}.$$

Приближенные выражения присоединенных масс для внутренней и внешней задач совпадают.

Как иногда бывает в подобных случаях, формулы, полученные в предположении, что  $n \gg 1$ , дают хорошее приближение к точному значению  $m_p$  и при небольших значениях  $n$ . Сравним точное значение отношения, входящего в выражение для присоединенной массы

$$z_n(x) = \frac{I_n'(x)}{I_n(x)} = \frac{I_{n-1}(x) + I_{n+1}(x)}{2I_n(x)}$$

с его асимптотическим приближением

$$\tilde{z}_n(x) = \frac{\sqrt{n^2 + x^2}}{x} \tag{3.55}$$

На рис. 3.6 изображена зависимость от  $x$  относительной погрешности асимптотической формулы

$$f_n(x) = \frac{z_n(x) - \tilde{z}_n(x)}{z_n(x)}$$

для  $n = 2$  и  $n = 3$ .

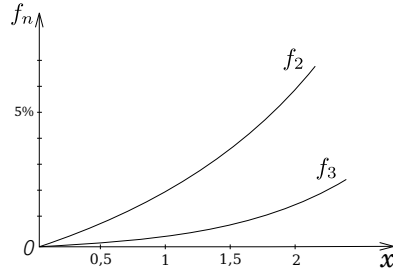


Рис. 3.6. Относительная погрешность асимптотической формулы.

Если  $x < 2$ , то при  $n = 2$  погрешность составляет около 5%, а при  $n = 3$  — около 2%. Хорошее совпадение частот, найденных с использованием точной и приближенной формул, отмечается и в книге Попова и Чернышева [2].

В случае  $n = 0$  приближенная формула (3.55) не годится, однако уравнение (3.53) упрощается из того, что  $a_{12} = a_{21} = a_{23} = a_{32} = 0$ , и принимает вид

$$D(\lambda) = (a_{22} - \lambda)\{(a_{11} - \lambda)[(a_{33} - \lambda(1 + m_p/m))] - a_{13}^2\} = 0.$$

Параметр частоты  $\lambda = a_{22}$  соответствует частоте крутильных колебаний, на которые не влияет контакт с идеальной жидкостью.

Параметры частоты осесимметричных колебаний являются корнями уравнения

$$(a_{11} - \lambda)[a_{33} - \lambda(1 + m_p/m)] - a_{13}^2 = 0, \quad (3.56)$$

решение которого осложняется зависимостью  $m_p$  от  $\lambda$ .

Предположим, что  $\omega \ll c_0\alpha$ . Тогда  $\beta \simeq \alpha$ , и при вычислении присоединенных масс можно использовать приближенные формулы

$$m_p \simeq \tilde{m}_p = \frac{\rho_0}{\alpha} \frac{I_0(\alpha_b)}{I_0'(\alpha_b)} = \frac{\rho_0}{\alpha} \frac{I_0(\alpha_b)}{I_1(\alpha_b)}$$

для внутренней задачи и

$$m_p \simeq \tilde{m}_p = -\frac{\rho_0}{\alpha} \frac{K_0(\alpha_b)}{K_0'(\alpha_b)} = \frac{\rho_0}{\alpha} \frac{K_0(\alpha_b)}{K_1(\alpha_b)}$$

для внешней задачи. Величины  $\tilde{m}_p$  соответствуют модели несжимаемой жидкости и не зависят от  $\lambda$ .

Подставим в уравнение (3.56) приближенное выражение для  $m_p$  и значения коэффициентов

$$a_{11} = \alpha_b^2, \quad a_{13} = a_{31} = -\nu\alpha_b, \quad a_{33} = 1 + \mu^4\alpha_b^4,$$

найденные в разделе 1.8 первой главы. Получим квадратное уравнение

$$(\alpha_b^2 - \lambda)[1 + \mu^4\alpha_b^4 - \lambda(1 + \tilde{m}_p/m)] - \nu^2\alpha_b^2 = 0.$$

После введения обозначений

$$a = 1 + \tilde{m}_p/m, \quad b = \mu^4\alpha_b^4, \quad c = a\alpha_b^2$$

это уравнение принимает вид

$$a\lambda^2 - \lambda(1 + b + c) + \alpha_b^2(\sigma + b) = 0.$$

Докажем, что его корни

$$\lambda_{1,2} = \frac{1 + b + c \pm \sqrt{(1 + b + c)^2 - 4c(\sigma + b)}}{2a}$$

вещественны и положительны.

Ввиду того, что  $\sigma = 1 - \nu^2 \leq 1$ , дискриминант уравнения

$$(1 + b + c)^2 - 4c\sigma - 4bc \geq (1 + b + c)^2 - 4c - 4bc = (1 + b - c)^2 \geq 0,$$

а по теореме Виета

$$\lambda_1 + \lambda_2 = \frac{1 + b + c}{a} > 0, \quad \lambda_1\lambda_2 = \frac{\alpha_b^2(\sigma + b)}{a} > 0.$$

Следовательно,  $\lambda_1$  и  $\lambda_2$  вещественны и положительны.

Использование приближенной формулы  $m_p \simeq \tilde{m}_p$  позволяет в явном виде найти параметры частоты осесимметричных колебаний  $\lambda_1$  и  $\lambda_2$ .

#### ЛИТЕРАТУРА

1. *Валландер С.В.* Лекции по гидроаэромеханике. СПб., 2005.
2. *Попов А.Л., Чернышев Г.Н.* Механика звукоизлучения пластин и оболочек. М., 1994.
3. *Мнев Е.Н., Перцев А.К.* Гидроупругость оболочек. Л., 1970.
4. *Иванов Д.Н., Наумова Н.В., Сабанеев В.С., Товстик Р.Е., Товстик Т.П.* О спектре частот свободных колебаний мембран и пластин, находящихся в контакте с жидкостью // Вестник Санкт-Петербургского университета. Серия 1, 2016, №3, 95-104.

## Оглавление

<b>3</b>	<b>Колебания упругих тел, соприкасающихся с жидкостью</b>	<b>1</b>
3.1.	Малые колебания идеальной баротропной жидкости . . . . .	1
3.2.	Колебания бесконечной пластины на жидком полупространстве . . . . .	3
3.3.	Колебания прямоугольной пластины, находящейся в контакте с несжимаемой жидкостью . . . . .	7
3.4.	Антисимметричные колебания прямоугольной пластины с учетом присоединенной массы . . . . .	12
3.5.	Симметричные колебания прямоугольной пластины с учетом присоединенной массы . . . . .	17
3.6.	Уравнения колебаний цилиндрической оболочки в жидкости. . . . .	20
3.7.	Вычисление присоединенной массы для цилиндрической оболочки . . . . .	23
3.8.	Приближенные методы определения присоединенной массы. . . . .	26